

VYSOKÁ ŠKOLA STROJNÍ A TEXTILNÍ

V LIBERCI

KATEDRA TEXTILNÍCH MATERIÁLŮ A VÝROBKŮ

PŘÍSTROJ NA MĚŘENÍ CHLUPATOSTI PŘÍZE

/ Diplomová práce /

Vysoká škola: strojní a textilní

Katedra: textilních materiálů a výrobků

Fakulta: textilní

Školní rok: 1973/74

## DIPLOMOVÝ ÚKOL

Alois Jiroušek

pro

obor 31 - 11 - 8 Technologie textilu, kůže, gumy a plastických hmot

Protože jste splnil požadavky učebního plánu, zadává Vám vedoucí katedry ve směru směrnic ministerstva školství o státních závěrečných zkouškách tento diplomový úkol:

Název tématu: Přístroj na měření chlupatosti příze

### Pokyny pro výpracování:

1. Navrhněte konstrukci přístroje na měření chlupatosti příze.
2. Odzkoušejte jeho funkci, proměřte chlupatost na předložených přízích a porovnejte její hodnoty na množství volných konců vláken vyňívajících z příze.
3. Měření provádějte na přízích Čm 40/1 vl/PES z n.p. Textilana

Auktorát práce se řídí směrnicemi MSK nebo akademickými normami  
zvolbeného oboru a je stanoven dle 24. výnosu MSK ze dne  
13. července 1951 a výnosu MZV RSDS ze dne 24. srpna 1952 (15 zákonodárného zákona č. 115/53 Sb.)

VYSOKÁ ŠKOLA STROJNÍ A TEXTILNÍ  
Ústřední knihovna  
LÍBEZEC 1 – STUDENTSKÁ 8

T

V 89 / 1974

<u>Obsah.</u>	str.
1. Úvod	5
2. Teoretická část	7
2.1. Chlupatost příze	7
2.2. Příčiny chlupatosti	9
3.0. Praktická část	11
3.1. Návrh přístroje na měření chlupatosti příze	11
3.2. Stavba přístroje	12
3.2.1. Mechanická část přístroje	13
3.2.2. Elektronická část přístroje	19
3.3. Měření na přístroji	22
3.3.1. Postup při měření	22
3.3.2. Záznam na oscilografu	25
3.3.3. Záznam na průmyslovém čítači EM 445 E	27
3.4. Vyhodnocování naměřených hodnot	30
3.4.1. Naměřené hodnoty a jejich vyhodnocení	37
3.4.2. Způsoby vyjadřování chlupatosti	40
4. Závěr	46
5. Použitá literatura	48
6. Příloha - výkres sestavení	

1. Úvod.

V posledních desetiletích můžeme v textilním průmyslu pozorovat velký rozvoj a modernizaci výroby. Stále se zvyšují rychlosti jednotlivých operací, jsou zaváděna nová průtahová ústrojí atd. To se kladně projevuje zvětšením objemu výroby, ale v některých případech tyto faktory mají za následek snížení kvality výrobků.

Protože však spotřebitel žádá kvalitní výrobek, musíme důsledně prověřovat všechny parametry, které ovlivňují kvalitu textilního výrobku. Chceme-li vyrábět kvalitní textilii, musíme zajišťovat výrobu jakostní příze. Je tedy důležitá kontrola jakosti příze, která má pro textilní výrobu velký význam. Kontrolujeme parametry příze jako je nestejnoměrnost, pevnost, tažnost, jemnost. V posledních dvaceti letech se k témtoto parametrům přiřadil nový ukazatel jakosti příze - chlupatost příze. Tento faktor podstatně ovlivňuje vzhled a přitažlivost jak samotné příze tak i finálního výrobku.

Chlupatost je způsobena vyčníváním končů, oblouků a smyček vláken z povrchu příze. Chlupatost příze ovlivňují parametry vláken /délka, tuhost v ohybu, koeficient tření, zkadeření, pevnost atd./, parametry příze /zákrut, jemnost/ a technologické faktory podílející se na výrobě příze.

Na rozdíl od základních parametrů činí objektiv-

ní hodnocení chlupatosti příze nemalé potíže. Bylo již vyvinuto několik způsobů měření chlupatosti, ale naměřené výsledky nejsou většinou srovnatelné v důsledku rozdílných principů měření.

Cílem mojí práce je navrhnout a zkonstruovat přístroj na měření chlupatosti příze a odzkoušet jeho funkci na předložených přízích.

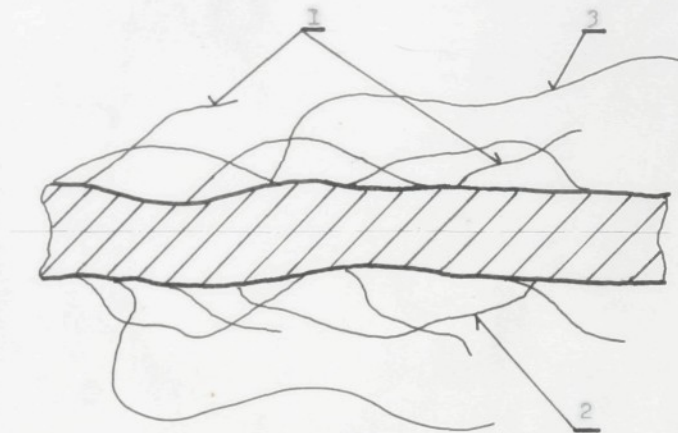
*schemu se mi nechává možností  
firma PILOSIMETR (Francia),  
Shirley Hairiness Meter (Anglie)*

2. Teoretická část.

2.1. Chlupatost příze.

Chlupatost příze je vlastnost, která jednak ovlivňuje povrchový vzhled a také vlastnosti příze. Je způsobena přítomností volných konců a smyček vláken na povrchu příze. Chlupatost tvoří několik druhů vláken.

Viz obr. 1. /lit.2/



1 - konce vláken    2 - oblouky /smyčky/    3 - divoká vlákna

Obr. 1

Při zvětšení příze můžeme pozorovat přítomnost konců vláken, která vyčnívají z povrchu nebo jádra nití 1. Část vláken vytváří na povrchu příze smyčky a oblouky 2. Do třetí skupiny jsou zařazena vlákna vel-

mi se podobající vláknům 1, ale jsou mnohem delší. Morton tato vlákna v teorii migrací nazývá „divoká“ 3.

Všechny tři popsané skupiny vláken tvoří vlastnost nazývanou chlupatost příze. Míra chlupatosti je podmíněna přítomností určitého počtu konců vláken, smyček a divokých vláken. Čím chlupatější příze, tím větší počet vyčnívajících vláken.

Chlupatost tvoří ta vlákna nacházející se ve vnější vrstvě příze, jež slabě přilnula k jejímu tělu. Část vláken, která tvoří přízi je jedním svým koncem uchycena v jádru příze a druhý konec vyčnívá ven /konce/. Je to důsledek mechanických vlastností vlákna jako tuhosti, průřezu vlákna atd. Část ostatních vláken se posouvá směrem k vnější části příze během kroucení, přičemž oba konce v ní zůstanou uchyceny. Tím se vytvoří oblouk nebo smyčka. Mortonova „divoká“ vlákna jsou ta u nichž byl při kroucení uchycen pouze přední konec. Mohou to být též okrajová vlákna, pocházející z okrajů pramene, která se z těla pramene nebo přástu poněkud oddělila /lit.2/.

Chlupatost příze ovlivňuje vzhled povrchu tkanin. Efekt způsobený chlupatostí může být kladný v případě, že příze byla použita pro tkaninu, jejíž vazba má být skrytá a na druhé straně chlupatost působí záporně u hladkých tkanin z česaných přízí. Chlupatost může nepríznivě působit na zvýšení žmolkovi testi u hotových tkanin.

## 2.2. Příčiny chlupatosti.

Chlupatost přízí je závislá na mnoha faktorech jak materiálových tak i technologických.

### Faktory materiálové.

Je nutné brát v úvahu parametry vláken i přízí.

Tyto faktory byly prodiskutovány Barellou.

Pokud se týká vlákna, májí na chlupatost vliv: délka, tuhost v ohýbu, koef. tření, zkadeření, pevnost a v ne- poslední řadě i obsah krátkých vláken. Chlupatost je zvyšována větším průměrem a vyšší tuhostí vláken. Na druhé straně větší délka, zvýšený koef. tření a zvýše- ní kadeřavosti vláken podstatně ztíží tvoření chlupato- sti. Vliv ostatních parametrů /kromě obsahu krátkých vláken/ je malý. Čím vyšší je % krátkých vláken, tím menší je pevnost příze a vyšší chlupatost.

U parametrů příze ovlivňujících chlupatost je na prvé místo kladen zákrut, jehož zvyšováním se chlupatost snižuje. Zvýšení zákrutu nemá sice velký vliv na počet volných konců, ale podstatně se sníží oblouky a smyčky. Vyšší zákrut má za následek silnější stlačení příze a to ztěžuje migraci vláken. Chlupatost ovlivňuje i jem- nost příze a průměr. Všeobecně jsou chlupatější příze hrubé než příze tenké.

### Faktory technologické.

Na snížení chlupatosti má velký vliv volba správ- ného pracovního postupu, stupeň paralelizace vláken,

otáčky vřeten, napětí příze, přádní průtah atd. Chlupatost ovlivní i relativní vlhkost prostředí a v neposlední řadě i možnost vzniku elektrostatického náboje. Rozbor technologických vlivů ovlivňujících chlupatost příze provedl Ander /lit.4/.

Z teoretických úvah vyplývá, že chlupatost klesá zlepšenou paralelizací vláken, zvýšením počtu posukových pasáží a zmenšením přádního průtahu.

Praktickým měřením bylo zjištěno:

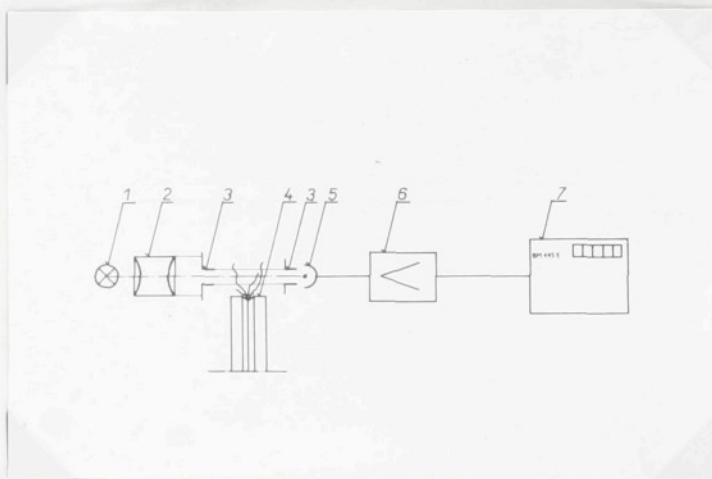
1. Chlupatost příze vzrůstá se zvyšujícími se otáčkami vřeten.
2. Ch. klesá při zvyšování čísla běžce.
3. Se stoupající relativní vlhkostí se chlupatost příze snižuje a proto se doporučuje spřádat při vyšší vlhkosti.

3.0. Praktická část.

3.1. Návrh přístroje na měření chlupatosti příze.

Po zadání problému jsem prostudoval dostupnou literaturu a vzal za základ „přístroje na měření chlupatosti příze“ princip popsáný Slackem /lit.3/.

Schéma měření /viz obr.2/:



1-zdroj světla  
2-kolektor  
3-clonka

4-kotouč s přízí  
5-fotobunka  
6-zesilovač

7-universální  
čítač  
EM 445 E

Obr. 2

Paprsek světla vychází ze světelného zdroje a je usměrněn optickým kolektorem do otvoru kruhové clonky 3, za níž je umístěna citlivá fotodioda. Dopadající světlo vyvolá na svorkách fotodiody napětí. Mezi clonkami 3

prochází světelný paprsek, pod jehož rovinou je umístěn vodící kotouč s drážkou. Po kotouči je vedena příze, která vyčnívajícími vlákny zasahuje do paprsku světla. Paprsek je prostupujícími vlákny přerušován a to vyvolává na fotodiodě změny napětí - napěťové impulsy. Impulzy jsou velmi malé a nastává problém, jaký způsob použít pro jejich zaznamenání. V prvé řadě je třeba impulzy značně zesílit a poté je přivést na registrační zařízení. V úvahu přicházela možnost záznamu na smyčkovém osciloskopu nebo na universálním průmyslovém čítači. Zpočátku jsem se zaměřil na měření chlupatosti pomocí osciloskopu a později pomocí čítače.

### 3.2. Stavba přístroje.

Mechanickou část přístroje podle mého návrhu vytvořil s. Kristián v mechanické dílně KMV. Elektroniku přístroje navrhl s. Ing. Slavík z KE a pomohl mi i při její stavbě.

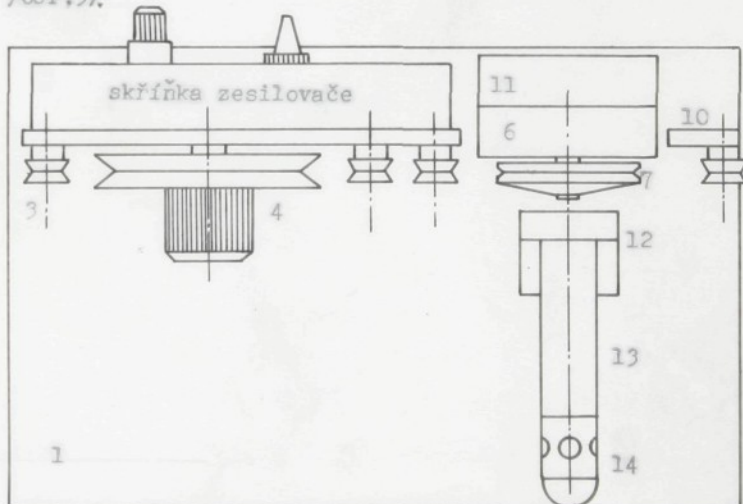
Pro přezkoušení činnosti přístroje byla elektrotechnická část sestavena provizorně, aby bylo možné udělat potřebné změny.

Po konečných zkouškách byly odstraněny některé nedostatky na mechanické části, elektronika se umístila na plošné spoje a přístroj byl sestaven do své novější podoby. Následovaly už jen povrchové úpravy /lakování, chromování, leštění/.

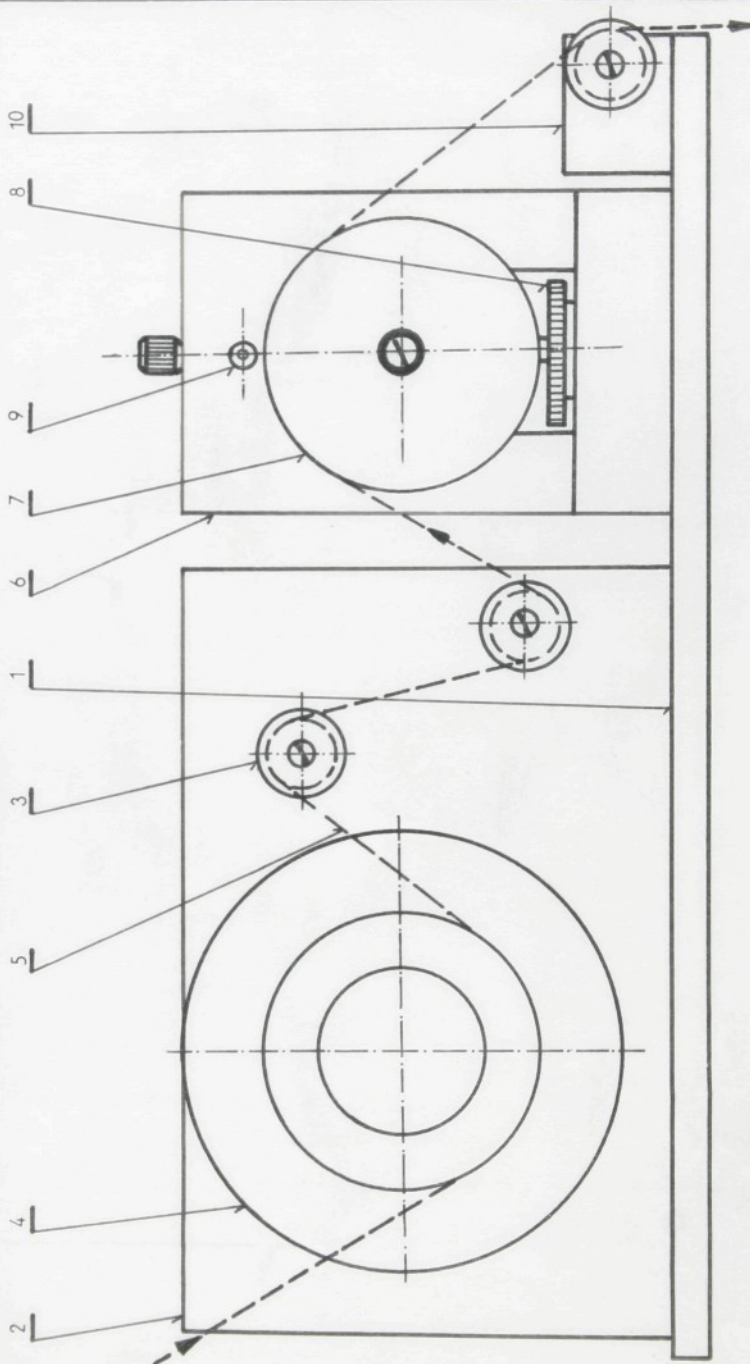
3.2.1. Mechanická část přístroje /obr. 3; 3a; 4; 5/.

Základ přístroje tvoří duralová deska 1, na níž je šrouby upevněna kolmá stěna 2 a dva držáky 6 a 12.

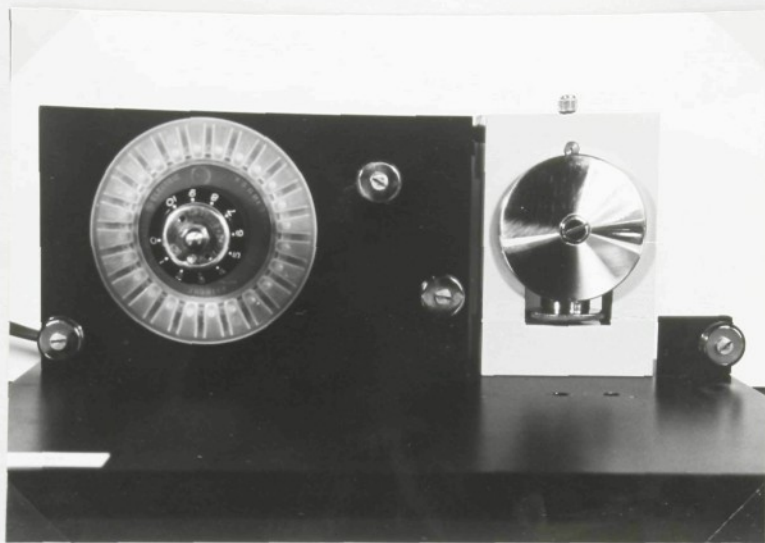
Kolmá stěna 2 nese na své přední straně vodící kladičky 3 pro vedení příze 5 a hysterezní brzdu 4, již lze měnit napětí procházející příze. Brzda, která byla při konstrukci přístroje k dispozici, má velkou výhodu v tom, že drážka pro vedení příze je tvarovaná a zabraňuje prokluzávání příze. To je velmi důležité, neboť prokluz příze by mohl mít za následek ulámaní nebo změnu polohy vyčnívajících vláken a tím ovlivnit výsledek měření. Kladičky 3 a brzda 4 tvoří celek, který přivádí přízi k vlastnímu měřícímu zařízení. Na zadní straně stěny je připevněna skříňka zesilovače /obr.5/.



Obr. 5 Rozmístění hlavních částí na základní desce.



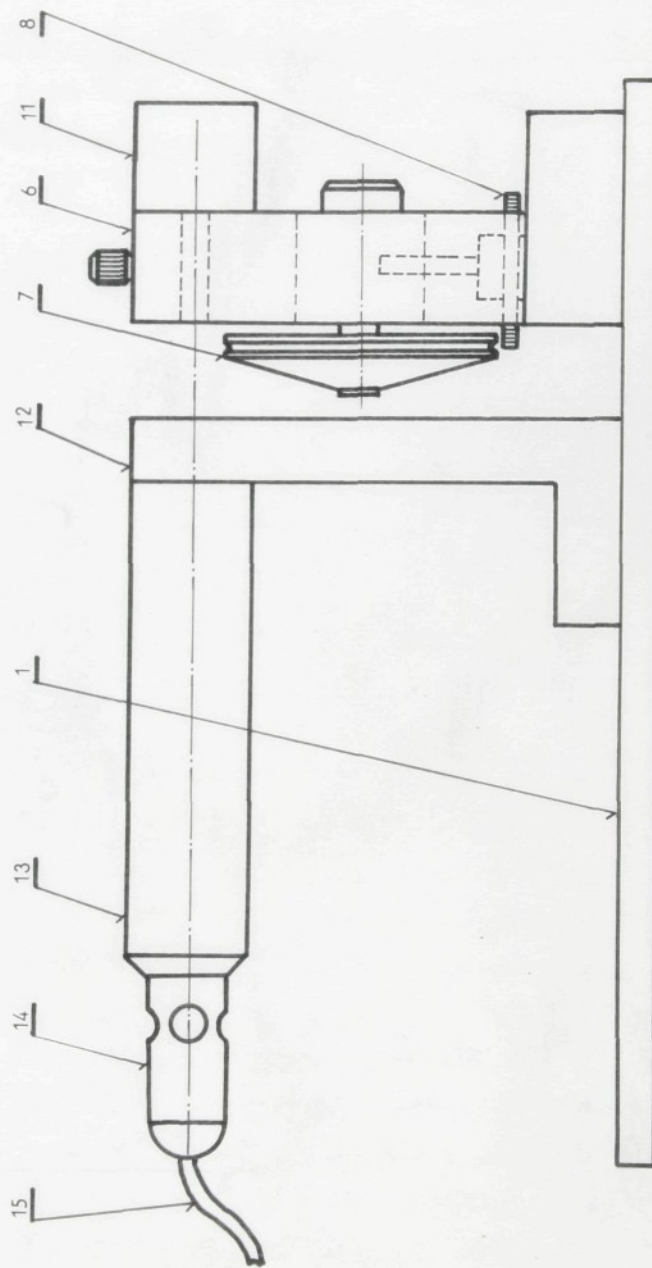
Obr. 3.



Obr. 3a

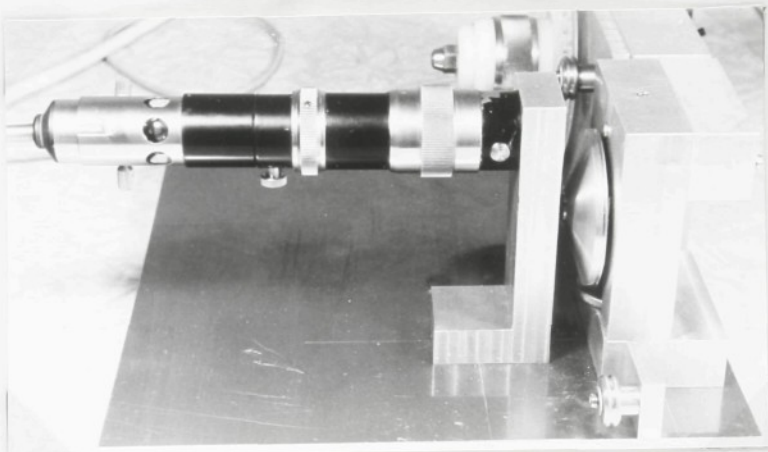
Pozice na obr. 3; 3a; 4 značí:

- 1 - základní deska přístroje
- 2 - kolmá stěna
- 3 - kladičky pro vedení příze
- 4 - hysterezní brzda /viz text/
- 5 - navedená příze
- 6 - držák vodícího kotouče, fotodiody a kruhové clonky
- 7 - vodící kotouč s drážkou
- 8 - šroub k nastavení výšky vodícího kotouče
- 9 - kruhová clonka /vede světlo k fotodiodě/
- 10 - držák s odváděcí kladičkou
- 11 - pouzdro s citlivou fotodiodou
- 12 - držák světelného zdroje
- 13,14,15 - kolektor s osvětlovacím tělesem a přív. šnúrou



Obr. 4

Hlavní mechanickou částí přístroje je vodící kotouč s drážkou 7 /na obr. 3; 4; 6/, která vede přízi v potřebné vzdálenosti pod světelným paprskem.

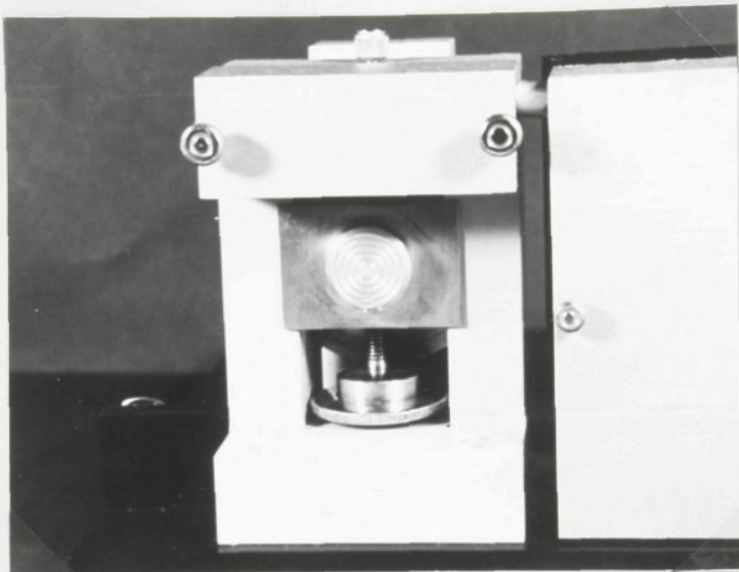


Obr.6

Vodícíkotouč 7 je otočně uložen v kamenu /obr.7/, který má možnost vertikálního posuvu /nahoru a dolů/ v držáku 6 a tím umožní měření chlupatosti v různých vzdálenostech od těla příze. Vertikální posuv kamene zajišťuje šroub 8 s jemným závitem /obr. 4; 7/.

V držáku 6 nad úrovní vodícího kotouče je zabudovaná kruhová clonka, jíž prochází světelný paprsek ze zdroje na fotodiodu umístěnou v krytu 11 /obr. 4;3a/. Světelný zdroj 13, 14 /žárovka s optickým kolektorem/ je nesen držákem 12. Postavení držáků 6 a 12 zajišťuje

přesné procházení paprsku v ose: žárovka - kolektor - otvor kruhové clony - fotodioda .



Obr. 7

Rozložení jednotlivých funkčních částí na zákl. desce přístroje je patrné z obr. 5. Vedení příze přístrojem vidíme na obr. 3 a měřící část přístroje /světelny zdroj 14, vodící kotouč 7, pouzdro s fotodiodou 11 a kruhová clonka 9/ na obr. 4 a 6.

Rozměrový výkres viz příloha.

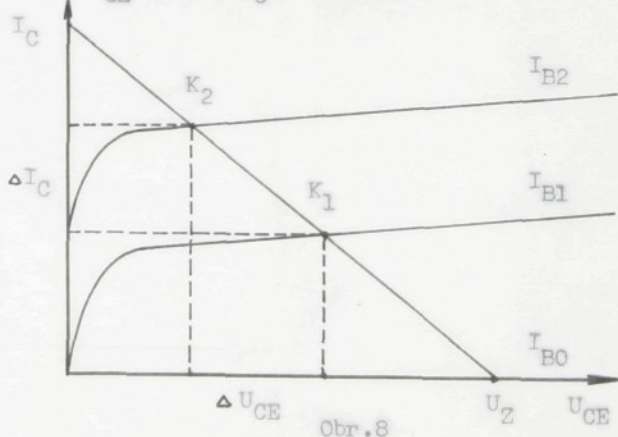
### 3.2.2. Elektronická část přístroje.

Elektronika přístroje je zabudovaná ve skřínce na zadní straně kolmé stěny 2 /obr. 5/.

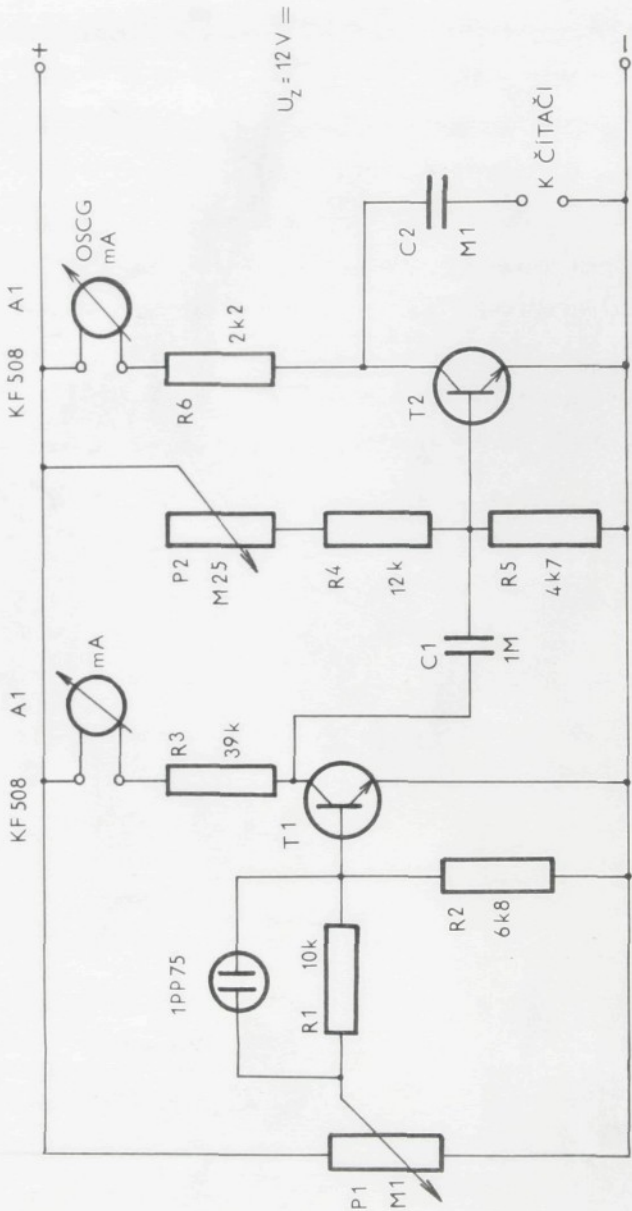
Elektroniku tvoří dvoustupňový tranzistorový zesilovač se dvěma tranzistory KF 508. Ovládací prvky /potenciometry, vypínač, zásuvky pro připojení měřících a registračních přístrojů/ jsou lehce přístupné z vnější strany skřínky zesilovače. Citlivá fotodioda, ukrytá v pouzdrou 11 /obr.4/, leží přesně v ose světelného paprsku na zadní straně držáku 6. Se vstupem zesilovače spojují fotodiodu dva sríněně vodiče.

Tranzistorový zesilovač je schematicky znázorněn na obr. 9. V obvodu kolektoru tranzistoru T1 je zapojen miliampérmetr A1, na němž něstavíme potenciometrem P1 pracovní bod tranzistoru T1 při neosvětlené hradlové fotodiodě 1PF75 /viz bod K1 na obr. 8/.

$$K1 / U_{CE} = 4 \text{ V; } I_C = 0,25 \text{ mA} / .$$



Obr. 8



Obr. 9

Při osvětlení fotodiody vzniká na jejích svorkách napětí, které způsobí změnu proudu báse tranzistoru T1 a tím současně i změnu kolektorového proudu. Změny napětí  $\Delta U_{CE}$ , úměrné změnám osvětlení fotodiody, jsou dále zesílany tranzistorem T2, jehož výstup je upraven pro vstup snyčkového osciloskopu. Proudové změny kolektorového proudu tranzistoru T2 zaznamenává snyčka MS8A. Pracovní bod proudu snyčky při neosvětlené fotodiodě je nastaven potenciometrem P2 /1 mA/. Napěťové impulsy, vzniklé na odporu R 6 při změnách proudu kolektoru tranzistoru T2, jsou přivedeny přes kondenzátor C 2 na universální čítač EM 445 E.

Čítač může pracovat na dvou režimech ve funkci počítání impulsů. V prvém případě je vyřazena z činnosti časová základna a hradlo je ovládáno ručně tlačítka MAN. V druhém případě se nastaví požadovaný interval hradla a zapne se automatické nulování.

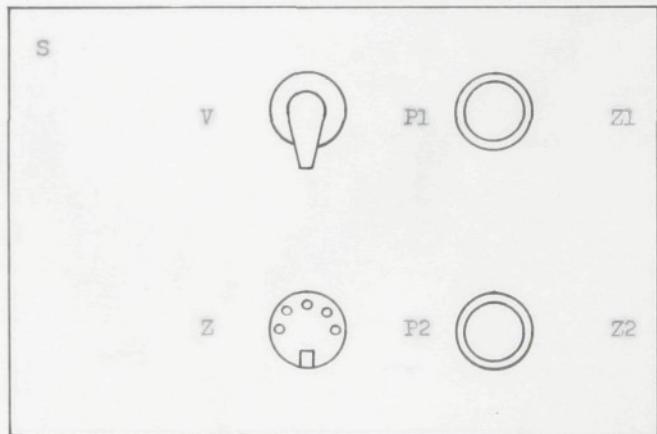
Elektronické vyhodnocovací zařízení přístroje i žárovku osvětlovacího zdroje bylo nutno napájet stabilizovaným zdrojem napětí. Byl použit zdroj TESLA BP 24 20, 24 V, 2 A. Hodnota napětí pro napájení přístroje je  $U_Z = 12$  V. Pro snížení napětí na tuto hodnotu byl do obvodu napájení zařazen reostat.

Poznámka: Při prvních zkouškách byla žárovka osvětlovacího zdroje napájena ze sítě přes trafo. Kmitočet síť však značně narušoval výsladek měření.

### 3.3. Měření na přístroji.

#### 3.3.1. Postup při měření.

1. Do přístroje navedeme zkoušenou přízi podle obr. 3.
2. Zapojíme světelný zdroj a napájení zesilovače.
3. Potenciometry nastavíme pracovní body zesilovače, viz kap. 3.2.2., obr. 9. Zacloníme fotodiodu a potenciometrem P1 nastavíme na mA-metru A1 0,25 mA. Pracovní bod tranzistoru T2 nastavíme potenciometrem P2 na mA-metru A2 /lmA/. Ovládací prvky viz obr. 10.



S - skřínka zesilovače; V - vypínač zesilovače; Pl, P2 - potenciometry; Z - zásuvka čítače; Z1 - zás. pro A1; Z2 - zás. pro A2, případně pro OSCG.

Obr. 10

4. Podle obr. 9 a 10 připojíme registrační zařízení:

A/ Smyčkový oscilograf / smyčka MS 8 A /. Na oscg. nastavíme změnou převodu vhodnou rychlosť posunu citlivého papíru /7 cm /sec/.

B/ Universální čítač PM 445 E. Čítač pracuje ve dvou režimech počítání impulsů:

a/ Vyřadíme z činnosti časovou základnu a čítač ovládáme tlačítka MAN.

b/ Nastavíme časový interval hradla /10"/ a zapneme automatické nulování čítače.

Při měření je třeba nastavit čítač na plnou citlivost.

Výstupy zesilovače jsou upraveny tak, aby bylo možné provádět záznam na oscilografu i čítači najednou.

5. Nastavíme výšku vodícího kotouče 7 šroubem 8 /obr.4/ vzhledem k ose světelného paprsku. Tím určíme vzdálenost paprsku od těla příze, v níž chceme proměřit chlupatost.

K nastavení výšky vodícího kotouče je třeba znát nulovou vzdálenost paprsku od těla příze. Tu určíme následujícím způsobem. Šroubem zvedáme vodící kotouč s přízí na úroveň, kdy tělo příze právě začne zastiňovat světelný paprsek; ručky mětrů poklesnou. Citlivě otáčíme šroubem zpět, až se ručky vrátí do původní polohy. Tím je nastavena nulová poloha kotouče pro ideální přízi, která má

ve všech místech stejný průměr. Ve skutečnosti se však na přízi střídají silnější a slabší místa. Z toho důvodu nestačí najít nulovou polohu pouze v jednom místě příze. Při měření jsem považoval za nulu aritmetický průměr z 10ti měření v různých místech příze. K tomu slouží měřítka na zadní straně držáku vodícího kotouče.

Od nulové hodnoty nastavíme potřebnou vzdálenost paprsku od těla příze. Měření jsem prováděl ve vzdálenostech  $x = 0,5; 1; 2; 4$  mm.

6. Zapojíme odvádění příze. Jako odváděcí zařízení jsem použil odtahu přístroje na měření nestejnoměrnosti příze ZELLWEGER USTER.

Nastavíme potřebnou rychlosť odvádění /4 m/min/ a zapneme motor.

7. Zaznamenáme naměřené hodnoty:

a/ Hodnoty na oscilografu zaznamenáme na citlivý papír.

b/ Hodnoty z čítače zapisujeme. Je možno použít tiskárny popřípadě hodnoty zaznamenat na děrné pásmo.

Veškerá měření na přístroji byla prováděná na pěti přízích, které vyrábí n. p. Textilana. Jedná se o česané příze směsové:

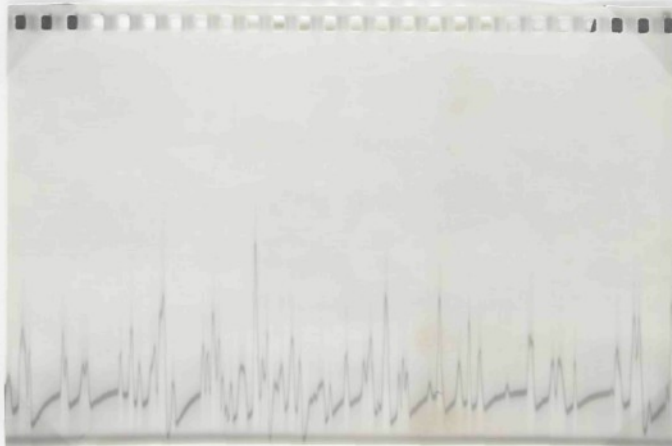
1. vl/PES 45/55 Čm 40/l - barva světle hnědá
2. vl/Tesil 45/55 Čm 40/l - režná

3. vl/Tesil 45/55 Čm 40/1 - barva hnědá
4. vl/Diolen 45/55 Čm 40/1 - barva zelená
5. vl/Diolen 45/55 Čm 40/1 - barva modrá

### 3.3.2. Záznam na oscilografu.

Záznam měření na oscilografu jsem používal pouze při počátečních zkouškách funkce přístroje. Později jsem k záznamu používal universální čítač BM 445 E.

K záznamu jsem použil smyčkový oscilograf TYP BG 135.56 se smyčkou MS 8 A. Oscilografický záznam je zachycen na citlivý papír /obr. 11/.



Obr. 11

Záznam na papíru vytváří světelná stopa s ostrými výchylkami. Každá výchylka je důsledkem zesíleného napěťového impulsu, který vznikl na fotodiodě po přerušení světelného paprsku vláknem vyčnívajícím z povrchu příze. Četnost výchylek je totožná s počtem chlupů, jež při posuvu příze proťaly dráhu světelného paprsku.

Stojí před námi problém vyjádření vztahu mezi zaznamenaným počtem impulsů na určitém úseku záznamu a délkou příze, která proběhla přístrojem. Vyjdeme z údajů, které se na vztahu podílejí:

$v = \text{konst.}$  - rychlosť odváděcích válečků /m/min./

$v_1 = \text{konst.}$  - rychlosť posuvu citlivého papíru /cm/s/

$t$  - časový úsek na záznamu /s/

$i$  - počet impulsů na úseku  $t$

$l$  - délka měřeného úseku příze /cm/

$h$  - délka časového úseku  $t$  /cm/

$X$  - počet impulsů na délku příze /imp./m/

Příklad:  $t = 10$  s

$v = 4 \text{ m/min} = 400/60 \text{ cm/s}$

$v_1 = 7 \text{ cm/s}$

$$h = v_1 \cdot t = 10 \cdot 7 = 70 \text{ cm}$$

Spočítáme impulsy na délce 70 cm záznamu:  $i = 100$  imp.

Vyjádříme četnost impulsů na 1 metr příze:

$$X = \frac{\frac{i}{l}}{v \cdot t} \cdot 100 = \frac{i}{v \cdot t} \cdot 100 = \frac{100}{\frac{400}{60} \cdot 10} = \underline{\underline{150 \text{ imp/m}}}$$

Výs ledek 150 imp/m znamená, že při projití 1m příze přístrojem 150 chlupů přerušilo světelný paprsek.

Poznámka: Vyhodnocování naměřených hodnot je velmi pracné z toho důvodu, že impulsy na záznamu můžeme počítat pouze manuálně. To velmi ztěžuje a zdržuje práci. Proto jsem osciloskopu použil jen při zkoušení přístroje.

### 3.3.3. Záznam na průmyslovém čítači BM 445 E.

Po odzkoušení funkce přístroje záznamem naměřených hodnot na osciloskopu jsem hledal vhodnější způsob získání výsledků. Byl mi zapůjčen universální průmyslový čítač BM 445 E, který mimo jiné plní i funkci počítání impulsů.

Je nutno vhodným způsobem přivést signál od zasilovače k čítači. Napěťové impulsy, vzniklé na odporu R6 při změnách proudu kolektoru T2, jsou přivedeny přes kondenzátor C2 na svorky pro propojení čítače /viz obr. 9/.

Potéto úpravě jsem provedl zkoušky při současném měření na osciloskopu i na čítači a porovnával výsledky obou způsobů měření. /Viz tab. 1/

Podmínky při porovnávacím měření:  $v = 4 \text{ m/min}$  /příze/

$v_1 = 7 \text{ cm/s}$  /papír/

$t = 10 \text{ s}$  /čas 1 zkoušky/

Tabulka 1.

n	čítač /imp/	oscg. /imp/	n	čítač /imp/	oscg. /imp/
1	140	140	11	155	157
2	146	145	12	170	171
3	146	147	13	175	172
4	163	161	14	160	159
5	163	164	15	165	161
6	142	146	16	167	166
7	150	152	17	171	173
8	149	149	18	158	159
9	183	180	19	168	171
10	171	172	20	171	170

Po zhodnocení porovnávací zkoušky lze říci, že oba způsoby záznamu jsou rovnocenné. Nepatrné rozdíly /Tab.1/ jsou způsobeny chybou při současném obsluhování dvou přístrojů.

Při dalších měřeních používám jednodušší způsob měření - záznam na čítači. Čítač BM 445 E skýtá dvě možnosti záznamu.

V prvém případě přepínačem funkcí vyřadíme z činnosti časovou základnu a nastavíme jej do polohu MAN. Nyní dobu záznamu a nulování obrazovky ovládáme ručně třemi tlačítky. Po stisknutí horního tlačítka MAN přístroj v paměti zaznamenává přivedené impulsy, jejichž

sumu po uplynutí požadovaného časového úseku vyvoláme dolním tlačítkem MAN. Po hodnoty z obrazovky přístroj vynuluje tlačítkem NULOVÁNÍ a můžeme začít další měření.

Druhý případ se od 1. liší zařazením časové základny do funkce /přepínač funkcí nastaven na  $f_c$ / s možností volby intervalu hradla  $10^{-2}$ ;  $10^{-1}$ ; 1; 10 sec. Zapojením do sítě začíná přístroj automaticky po uplynutí nastaveného intervalu vykazovat na obrazovce součty přivedených impulsů.

Příklad: Nastavíme interval hradla 10s a přivádíme impulsy od fotodiody.

Po uplynutí 10s se na obrazovce rozsvítí číslo odpovídající součtu impulsů za interval. Výsledek je na obrazovce po dobu dalšího intervalu, až je nahrazen novým součtem.

V obou uvedených případech je nutno jednotlivé výsledky sledovat a zapisovat na papír. Existuje však příslušenství dodávané k čítači; je to především tiskárna, jež automaticky zapíše hodnoty získané v jednotlivých intervalech, a děrovač zaznamenávající údaje na děrnou pásku pro případné vyhodnocení na počítači. Při použití příslušenství může aparatura pracovat bez obsluhy./Během měření nebyly tyto doplnky k čítači dostupné./

Poznámka: U prvních měření se na některých hodnotách

projevila značná chyba. V laboratoři, kde bylo měření prováděno, se pracovalo i na jiných přístrojích /zákrutomér, trhačka atd./, které nejsou elektricky odrušeny. Kabel, spojující přístroj s čítačem, zachycoval rušivé elektrické signály vysílané jinými přístroji. Čítač musí být při měření nastaven na plnou citlivost a proto registruje i signály /elektrické/ ze svého okolí. Z toho důvodu jsem musel měření přerušit vždy, když byly v chodu neodrušené přístroje. Jinak by výsledky nebyly použitelné.

#### 3.4. Vyhodnocování neměřených hodnot.

Konstrukce přístroje dovoluje pohyb kotouče pro vedení příze ve vertikálním směru kolmo k světelnému paprsku. Tím je umožněno měřit počet chlupů v určitých zvolených vzdálenostech od těla příze.

Ze způsobu měření vyplývá, že zařízení nepočítá všechny chlupy vystupující z příze, ale pouze tu část, která při posuvu příze protne světelný paprsek. Aby výsledkem měření byl skutečný počet chlupů na jednotku délky, bylo nutné najít relaci mezi skutečným počtem chlupů na jednotku délky příze a počtem impulsů zaznamenaných čítačem na stejném délkovém úseku.

Pro zjištění přepočtového koeficientu bylo provedeno velké množství  $n = 500$  experimentálních měření.

Označený 10cm dlouhý úsek příze byl proměřen na přístroji a na téžmě úseku byl manuálně zjištěn skutečný počet chlupů. Měření bylo velmi pracné.

Ze zjištěných hodnot /viz tab. 2/ jsem vyjádřil přepočtový koeficient  $k$ .

Označení použité v tab. 2:  $i$  - číslo měření

$m'_i$  - počet impulsů z čítače

$m_i$  - skutečný počet chlupů

$$k_i = \frac{m_i}{m'_i}$$

$k_i = \bar{k}$  pro výpočet

$/k_i = \bar{k}^2$  variačního koef.

$n = 500$  - počet měření

Hodnoty vypočtené z tab. 2:

$k = 2,93$  - přepočtový koeficient

$s = 0,399$  - směrodatná odchylka

$v_k = 13,6\%$  - variační koeficient

Variační koeficient je dost vysoký. Je to zaviněno ne-rovnoramenným rozložením vyčnívajících konců vláken po obvodu příze.

Přepočtový koeficient  $k=2,93$  znamená, že naměřená hodnota jím vynásobená je skutečným počtem chlupů na měřeném úseku.

## Přístroj na měření chlupatosti příze

A. Jiroušek

Tabulka 2.

i	m'	m	$k_i$	$k_i - \bar{k}$	$/k_i - \bar{k}/^2$
1	4	14	3,50	+0,57	0,3249
2	13	39	3,00	+0,07	0,0049
3	6	21	3,50	+0,57	0,3249
4	9	24	2,66	-0,27	0,0729
5	5	17	3,40	+0,47	0,2209
6	7	22	3,14	+0,21	0,0441
7	9	28	3,12	+0,19	0,0361
8	5	16	3,20	+0,27	0,0729
9	10	28	2,80	-0,13	0,0169
10	8	30	3,75	+0,82	0,6724
11	7	15	2,14	-0,79	0,6241
12	11	39	3,54	+0,61	0,3721
13	4	14	3,50	+0,57	0,3249
14	6	18	3,00	+0,07	0,0049
15	9	22	2,44	-0,49	0,2401
16	13	33	2,53	-0,40	0,1600
17	6	14	2,33	-0,60	0,3600
18	9	25	2,77	-0,16	0,0256
19	6	20	3,35	+0,42	0,1764
20	6	21	3,50	+0,57	0,3249
21	9	27	3,00	+0,07	0,0049
22	14	36	2,57	-0,36	0,1296
23	5	17	3,40	+0,47	0,2209
24	10	29	2,90	-0,03	0,0009
25	7	24	3,42	+0,49	0,2401
26	9	26	2,88	-0,05	0,0025
27	7	16	2,28	-0,65	0,4225
28	12	34	2,83	-0,10	0,0100
29	4	15	3,75	+0,82	0,6724
30	6	21	3,50	+0,57	0,3249
31	8	24	3,00	+0,07	0,0049
32	15	50	3,33	+0,40	0,1600
33	5	15	3,00	+0,07	0,0049
34	6	21	3,50	+0,57	0,3249
35	4	12	3,00	+0,07	0,0049
36	4	14	3,50	+0,57	0,3249
37	5	17	3,40	+0,47	0,2209
38	7	23	3,28	+0,35	0,1225
39	8	26	3,25	+0,32	0,1024
40	4	14	3,00	+0,07	0,0049
41	9	22	2,44	-0,49	0,2401
42	12	26	2,16	-0,77	0,5929
43	5	16	3,20	+0,27	0,0729
44	8	26	3,25	+0,32	0,1024
45	9	21	2,33	-0,60	0,3600
46	10	30	3,00	+0,07	0,0049
47	7	25	3,57	+0,64	0,4096
48	6	12	2,00	-0,93	0,8649
49	8	28	3,50	+0,57	0,3249
50	11	33	3,00	+0,07	0,0049

i	m'	m	$k_i$	$k_i - \bar{k}$	$/k_i - \bar{k}/^2$
51	12	25	2,08	-0,85	0,7225
52	6	17	2,84	-0,09	0,0081
53	10	32	3,20	+0,27	0,0729
54	5	17	3,40	+0,47	0,2209
55	9	31	3,44	+0,51	0,2601
56	5	18	3,60	+0,67	0,4489
57	12	35	2,91	-0,02	0,0004
58	5	17	3,40	+0,47	0,2209
59	6	20	3,23	+0,40	0,1600
60	5	18	3,60	+0,67	0,4489
61	12	36	3,00	+0,07	0,0049
62	8	27	3,38	+0,45	0,2025
63	7	21	3,00	+0,07	0,0049
64	11	32	2,90	-0,03	0,0009
65	8	26	3,24	+0,31	0,0961
66	6	19	3,16	+0,23	0,0529
67	7	20	2,85	-0,08	0,0064
68	6	16	2,66	-0,27	0,0729
69	6	13	2,16	-0,77	0,5929
70	9	27	3,00	+0,07	0,0049
71	8	24	3,00	+0,07	0,0049
72	4	13	3,25	+0,32	0,1024
73	10	33	3,30	+0,37	0,1369
74	6	17	2,83	-0,10	0,0100
75	4	9	2,25	-0,68	0,4624
76	7	16	2,28	-0,65	0,4225
77	17	35	2,05	-0,88	0,7744
78	5	13	2,60	-0,33	0,1089
79	13	33	2,53	-0,40	0,1600
80	4	14	3,50	+0,57	0,3249
81	6	12	2,00	-0,93	0,8649
82	6	18	3,00	+0,07	0,0049
83	8	29	3,63	+0,70	0,4900
84	12	36	3,00	+0,07	0,0049
85	10	36	3,60	+0,67	0,4489
86	5	12	2,40	-0,53	0,2809
87	3	9	3,00	+0,07	0,0049
88	5	17	3,40	+0,47	0,2209
89	4	12	3,00	+0,07	0,0049
90	7	25	3,57	+0,64	0,4096
91	6	18	3,00	+0,07	0,0049
92	9	19	2,12	-0,81	0,6561
93	4	9	2,25	-0,68	0,4624
94	7	16	2,28	-0,65	0,4225
95	6	19	3,16	+0,23	0,0529
96	4	9	2,25	-0,68	0,4624
97	4	12	3,00	+0,07	0,0049
98	4	14	3,50	+0,57	0,3249
99	6	13	2,16	-0,77	0,5929
100	9	18	2,00	-0,93	0,8649

Přístroj na měření chlupatosti příze.

A. Jiroušek

i	m'	m	k <sub>i</sub>	k <sub>i</sub> -k̄	/k <sub>i</sub> -k̄/²
100	3	11	3,66	+0,73	0,5329
102	5	17	3,40	+0,47	0,2209
103	4	13	3,25	+0,32	0,1024
104	7	15	2,14	-0,79	0,6241
105	8	26	3,25	+0,32	0,1024
106	5	15	3,00	+0,07	0,0049
107	5	11	2,20	-0,73	0,5329
108	11	28	2,54	-0,39	0,1521
109	12	36	3,00	+0,07	0,0049
110	6	17	2,83	-0,10	0,0100
111	13	29	2,23	-0,70	0,4900
112	6	18	3,00	+0,07	0,0049
113	6	16	2,66	-0,27	0,0729
114	12	39	3,25	+0,32	0,1024
115	6	21	3,50	+0,57	0,3249
116	7	21	3,00	+0,07	0,0049
117	4	15	3,75	+0,82	0,6724
118	5	17	3,40	+0,47	0,2209
119	4	14	3,50	+0,57	0,3249
120	10	30	3,00	+0,07	0,0049
121	8	17	2,12	-0,84	0,7056
122	11	33	3,00	+0,07	0,0049
123	15	42	2,80	-0,13	0,0169
124	9	19	2,11	-0,82	0,6724
125	3	9	3,00	+0,07	0,0049
126	7	20	2,85	-0,08	0,0064
127	9	27	3,00	+0,07	0,0049
128	7	17	2,42	-0,49	0,2401
129	9	24	2,70	-0,23	0,0529
130	3	11	3,66	+0,73	0,5329
131	14	28	2,00	-0,93	0,8649
132	7	23	3,28	+0,35	0,1225
133	7	21	3,00	+0,07	0,0049
134	10	24	2,40	-0,53	0,2809
135	11	36	3,27	+0,34	0,1156
136	9	21	2,33	-0,60	0,3600
137	4	9	2,25	-0,68	0,4624
138	9	19	2,10	-0,83	0,6889
139	6	21	3,50	+0,57	0,3249
140	7	19	2,71	-0,22	0,0448
141	13	30	2,30	-0,63	0,3969
142	7	19	2,71	-0,22	0,0448
143	10	22	2,20	-0,73	0,5329
145	12	36	3,00	+0,07	0,0049
144	11	27	2,45	-0,48	0,2304
146	7	23	3,28	+0,35	0,1225
147	3	11	2,65	+0,72	0,5184
148	9	27	3,00	+0,07	0,0049
149	8	26	3,45	+0,52	0,2704
150	6	20	3,33	+0,40	0,1600

i	m'	m	k <sub>i</sub>	k <sub>i</sub> -k̄	/k <sub>i</sub> -k̄/²
151	12	42	3,50	+0,57	0,3249
152	10	30	3,00	+0,07	0,0049
153	15	40	2,66	-0,27	0,0729
154	9	22	2,44	-0,49	0,2401
155	8	24	3,00	+0,07	0,0049
156	12	38	3,16	+0,23	0,0529
157	10	29	2,90	-0,03	0,0009
158	3	9	3,00	+0,07	0,0049
159	5	16	3,20	+0,27	0,0729
160	10	27	2,70	-0,23	0,0529
161	5	14	2,80	-0,13	0,0169
162	9	28	3,11	+0,18	0,0324
163	12	39	3,25	+0,32	0,1024
164	7	15	3,14	+0,79	0,6341
165	11	35	3,18	+0,25	0,0625
166	7	27	3,85	+0,92	0,8464
167	9	27	3,00	+0,07	0,0049
168	11	33	3,00	+0,07	0,0049
169	9	21	2,33	-0,60	0,3600
170	4	15	3,75	+0,82	0,6724
171	16	46	2,87	-0,06	0,0036
172	11	29	2,63	-0,30	0,0900
173	7	22	3,14	+0,21	0,0441
174	14	46	3,28	+0,35	0,1225
175	8	22	2,75	-0,18	0,0324
176	13	31	2,38	-0,55	0,3025
177	13	29	2,23	-0,70	0,4900
178	11	26	2,36	-0,57	0,3240
179	13	31	2,38	-0,55	0,3025
180	7	27	3,75	+0,82	0,6724
181	12	37	3,08	+0,15	0,0225
182	11	33	3,00	+0,07	0,0049
183	6	20	3,33	+0,40	0,1600
184	10	38	3,80	+0,87	0,7569
185	6	18	3,00	+0,07	0,0049
186	7	24	3,42	+0,49	0,2401
187	8	30	3,75	+0,82	0,6724
188	4	14	3,50	+0,57	0,3249
189	12	31	2,58	-0,35	0,1225
190	12	38	3,16	+0,23	0,0529
191	12	32	2,66	-0,27	0,0729
192	11	33	3,00	+0,07	0,0049
193	10	30	3,00	+0,07	0,0049
194	12	39	3,25	+0,32	0,1024
195	10	32	3,20	+0,27	0,0729
196	11	24	2,18	-0,75	0,5625
197	11	24	2,18	-0,75	0,5625
198	6	22	3,66	+0,73	0,5329
199	4	12	3,00	+0,07	0,0049
200	14	45	3,21	+0,28	0,0784

i	m'	m	k <sub>i</sub>	k <sub>i</sub> -k̄	/k <sub>i</sub> -k̄/²
201	5	16	3,20	+0,27	0,0729
202	8	22	2,75	-0,18	0,0324
203	12	36	3,00	+0,07	0,0049
204	12	42	3,50	+0,57	0,3249
205	6	16	2,66	-0,27	0,0729
206	16	56	2,50	+0,57	0,3249
207	7	20	2,85	-0,08	0,0064
208	18	59	3,27	+0,34	0,1156
209	12	36	3,00	+0,07	0,0049
210	20	53	2,65	-0,28	0,0784
211	4	14	3,25	+0,32	0,1024
212	18	38	3,22	+0,29	0,0841
213	5	18	3,60	+0,67	0,4489
214	8	28	3,50	+0,57	0,3249
215	10	32	3,20	+0,27	0,0729
216	6	21	3,50	+0,57	0,3249
217	4	14	3,16	+0,23	0,0529
218	20	41	2,05	-0,88	0,7744
219	16	36	2,25	-0,68	0,4624
220	8	27	3,38	+0,45	0,2025
221	11	43	3,90	+0,97	0,9409
222	20	57	2,85	-0,08	0,0064
223	14	43	3,07	+0,14	0,0169
224	9	31	3,45	+0,52	0,2025
225	14	43	3,07	+0,14	0,0196
226	17	63	3,70	+0,77	0,5929
227	16	52	3,25	+0,32	0,1024
228	11	41	3,72	+0,79	0,6241
229	14	47	3,35	+0,42	0,1764
230	15	34	2,26	-0,67	0,4489
231	14	42	3,00	+0,07	0,0049
232	17	39	2,29	-0,64	0,4096
233	11	36	3,27	+0,34	0,1156
234	13	46	3,53	+0,60	0,3600
235	20	69	3,45	+0,52	0,2704
236	11	35	3,18	+0,25	0,0625
237	18	61	3,38	+0,45	0,2025
238	15	41	2,73	-0,20	0,0400
239	13	40	3,07	+0,14	0,0196
240	11	40	3,63	+0,70	0,4900
241	17	49	2,88	-0,05	0,0025
242	19	56	2,99	+0,06	0,0036
243	12	39	3,25	+0,32	0,1024
244	14	45	3,21	+0,28	0,0784
245	10	26	2,60	-0,33	0,1089
246	13	44	3,38	+0,45	0,2025
247	19	62	3,26	+0,33	0,1089
248	14	44	3,14	+0,21	0,0441
249	11	30	2,72	-0,21	0,0441
250	18	49	2,72	-0,21	0,0441

i	m'	m	k <sub>i</sub>	k <sub>i</sub> -k̄	/k <sub>i</sub> -k̄/²
251	12	29	2,41	-0,52	0,2704
252	15	48	3,20	+0,27	0,0729
253	11	30	2,72	-0,21	0,0441
254	8	26	3,25	+0,32	0,1024
255	12	36	3,00	+0,07	0,0049
256	9	29	3,22	+0,29	0,0841
257	12	35	2,91	-0,02	0,0004
258	12	26	2,17	-0,76	0,5776
259	10	30	3,00	+0,07	0,0049
260	10	36	3,60	+0,67	0,4489
261	9	30	3,33	+0,40	0,1600
262	9	27	3,00	+0,07	0,0049
263	12	35	2,92	-0,01	0,0001
264	8	30	3,75	+0,82	0,6724
265	9	24	2,67	-0,26	0,0676
266	7	22	3,14	+0,21	0,0441
267	5	16	3,20	+0,27	0,0729
268	8	21	2,63	-0,30	0,0900
269	6	18	3,00	+0,07	0,0049
270	16	44	2,75	-0,18	0,0324
271	11	26	2,36	-0,57	0,3249
272	8	26	3,25	+0,32	0,1024
273	4	14	3,50	+0,57	0,3249
274	9	25	2,78	-0,15	0,0225
275	10	34	3,40	+0,47	0,2209
276	13	34	2,62	-0,31	0,0961
277	14	29	2,07	-0,86	0,7396
278	15	35	2,33	-0,60	0,3600
279	14	35	2,50	-0,43	0,1849
280	15	34	2,26	-0,67	0,4489
281	14	36	2,57	-0,36	0,1296
282	15	35	2,33	-0,60	0,3600
283	15	45	3,00	+0,07	0,0049
284	12	37	3,08	+0,15	0,0225
285	13	38	2,92	-0,01	0,0001
286	11	38	3,45	+0,52	0,2704
287	15	43	2,86	-0,07	0,0049
288	12	37	3,07	+0,14	0,0169
289	21	58	2,76	-0,17	0,0289
290	11	33	3,00	+0,07	0,0049
291	13	41	3,15	+0,22	0,0484
292	12	36	3,00	+0,07	0,0049
293	12	40	3,33	+0,40	0,1600
294	11	37	3,36	+0,43	0,1849
295	14	37	2,64	-0,29	0,0841
296	13	36	2,77	-0,16	0,0256
297	13	39	3,00	+0,07	0,0049
298	15	49	3,26	+0,33	0,1089
299	14	44	3,14	+0,21	0,0441
300	13	36	2,77	-0,16	0,0256

i	m'	m	k <sub>i</sub>	k <sub>i</sub> -k̄	/k <sub>i</sub> -k̄/²
301	12	29	2,42	-0,51	0,2601
302	15	38	2,53	-0,40	0,1600
303	13	36	2,77	-0,16	0,0256
304	13	40	3,07	+0,14	0,0196
305	12	36	3,00	+0,07	0,0049
306	10	29	2,90	-0,03	0,0009
307	11	33	3,00	+0,07	0,0049
308	12	35	2,92	-0,01	0,0001
309	10	31	3,10	+0,17	0,0289
310	12	36	3,00	+0,07	0,0049
311	13	30	2,31	-0,62	0,3844
312	10	36	3,60	+0,67	0,4489
313	10	29	2,90	-0,03	0,0009
314	11	28	2,54	-0,39	0,1521
315	10	29	2,90	-0,03	0,0009
316	11	25	3,18	+0,25	0,0625
317	13	33	2,54	-0,39	0,1521
318	12	36	3,00	+0,07	0,0049
319	13	40	3,07	+0,14	0,0196
320	11	31	2,82	-0,11	0,0121
321	11	30	2,73	-0,20	0,0400
322	13	36	2,77	-0,16	0,0256
323	9	27	3,00	+0,07	0,0049
324	11	31	2,82	-0,11	0,0121
325	10	31	3,10	+0,17	0,0289
326	13	39	3,00	+0,07	0,0049
327	13	30	2,31	-0,62	0,3844
328	11	36	3,27	+0,34	0,1156
329	12	39	3,25	+0,32	0,1024
330	7	22	3,14	+0,21	0,0441
331	10	38	3,80	+0,87	0,7569
332	13	30	2,31	-0,62	0,3844
333	14	42	3,00	+0,07	0,0049
334	10	34	3,40	+0,47	0,2209
335	8	24	3,00	+0,07	0,0049
336	9	28	3,11	+0,18	0,0324
337	10	37	3,70	+0,77	0,5929
338	11	37	3,36	+0,43	0,1849
339	9	27	3,00	+0,07	0,0049
340	9	25	2,78	-0,15	0,0225
341	12	36	3,00	+0,07	0,0049
342	9	24	2,67	-0,26	0,0676
343	10	31	3,10	+0,17	0,0289
344	12	31	2,58	-0,35	0,1225
345	9	25	2,78	-0,15	0,0225
346	13	26	2,00	-0,93	0,8649
347	11	27	2,45	-0,48	0,2304
348	11	33	3,00	+0,07	0,0049
349	10	31	3,10	+0,17	0,0289
350	11	32	2,91	-0,02	0,0004

i	m'	m	k <sub>i</sub>	k <sub>i</sub> -k̄	/k <sub>i</sub> -k̄/²
351	11	33	3,00	+0,07	0,0049
352	14	38	2,71	-0,22	0,0484
353	10	36	3,60	+0,57	0,4489
354	10	28	2,80	-0,13	0,0169
355	14	31	2,21	-0,72	0,5184
356	11	33	3,00	+0,07	0,0049
357	9	29	3,22	+0,29	0,0841
358	10	31	3,10	+0,17	0,0289
359	9	31	3,44	+0,51	0,2601
360	8	24	3,00	+0,07	0,0049
361	10	29	2,90	-0,03	0,0009
362	9	23	2,56	-0,37	0,1369
363	12	28	2,33	-0,60	0,3600
364	9	30	3,33	+0,40	0,1600
365	11	34	2,18	-0,75	0,5629
366	10	30	3,00	+0,07	0,0049
367	10	31	3,10	+0,17	0,0289
368	13	28	2,15	-0,78	0,6084
369	10	29	2,90	-0,03	0,0009
370	9	29	3,22	+0,29	0,0841
371	11	26	2,36	-0,57	0,3249
372	9	22	2,44	-0,49	0,2401
373	6	17	2,83	-0,10	0,0100
374	13	39	3,00	+0,07	0,0049
375	11	33	3,00	+0,07	0,0049
376	10	27	2,70	-0,23	0,0529
377	15	45	3,00	+0,07	0,0049
378	12	37	2,08	-0,85	0,7334
379	14	37	2,64	-0,29	0,0841
380	12	36	3,00	+0,07	0,0049
381	11	27	2,45	-0,48	0,2304
382	10	28	2,80	-0,13	0,0169
383	11	28	2,55	-0,38	0,1444
384	11	33	3,00	+0,07	0,0049
385	11	34	3,09	+0,16	0,0256
386	13	28	2,15	-0,78	0,5934
387	9	31	3,44	+0,51	0,2601
388	11	34	3,09	+0,16	0,0256
389	13	30	2,31	-0,62	0,3844
390	11	33	3,00	+0,07	0,0049
391	12	27	2,25	-0,68	0,4624
392	9	25	2,78	-0,15	0,0225
393	11	30	2,73	-0,20	0,0400
394	9	30	3,33	+0,40	0,1600
395	10	29	2,90	-0,03	0,0009
396	9	27	3,00	+0,07	0,0049
397	12	33	2,75	-0,18	0,0324
398	9	28	3,11	+0,18	0,0324
399	12	36	3,00	+0,07	0,0049
400	10	30	3,00	+0,07	0,0049

i	m'	m	k <sub>i</sub>	k <sub>i</sub> -k̄	/k <sub>i</sub> -k̄/²
401	12	40	3,33	+0,40	0,1600
402	9	29	3,22	+0,29	0,0841
403	11	33	3,00	+0,07	0,0049
404	10	28	2,80	-0,13	0,0169
405	10	33	3,30	+0,37	0,1369
406	11	33	3,00	+0,07	0,0049
407	12	40	3,33	+0,40	0,1600
408	9	29	3,22	+0,29	0,0841
409	10	29	2,90	-0,03	0,0009
410	12	36	3,00	+0,07	0,0049
411	13	30	2,31	-0,59	0,3481
412	9	27	3,00	+0,07	0,0049
413	12	36	3,00	+0,07	0,0049
414	10	27	2,70	-0,23	0,0529
415	9	27	3,00	+0,07	0,0049
416	8	27	3,38	+0,45	0,2025
417	9	29	3,22	+0,29	0,0841
418	11	23	2,09	-0,84	0,7056
419	9	25	2,88	-0,05	0,0025
420	16	36	2,20	-0,73	0,5329
421	12	31	2,58	-0,35	0,1225
422	18	46	2,55	-0,38	0,1444
423	15	37	2,47	-0,46	0,2116
424	15	45	3,00	+0,07	0,0049
425	17	47	2,76	-0,17	0,0289
426	10	30	3,00	+0,07	0,0049
427	11	29	2,64	-0,29	0,0841
428	15	44	2,93	+0,00	0,0000
429	12	38	3,16	+0,33	0,1089
430	11	38	3,45	+0,52	0,2704
431	12	39	3,25	+0,32	0,1024
432	13	41	3,15	+0,22	0,0484
433	6	23	3,82	+0,89	0,7921
434	11	33	3,00	+0,07	0,0049
435	12	35	2,92	-0,01	0,0001
436	14	39	2,78	-0,15	0,0225
437	6	21	3,50	+0,57	0,3249
438	13	41	3,15	+0,22	0,0484
439	12	37	3,08	+0,15	0,0225
440	17	49	2,88	-0,05	0,0025
441	14	43	3,07	+0,14	0,0196
442	16	48	3,00	+0,07	0,0049
443	17	42	2,47	-0,46	0,2116
444	11	29	2,63	-0,30	0,0900
445	8	24	3,00	+0,07	0,0049
446	11	28	2,54	-0,39	0,1521
447	13	39	3,00	+0,07	0,0049
448	16	53	3,31	+0,38	0,1444
449	16	48	3,00	+0,07	0,0049
450	12	39	3,25	+0,32	0,1024

i	m'	m	k <sub>i</sub>	k <sub>i</sub> -k̄	/k <sub>i</sub> -k̄/²
451	11	30	2,73	-0,20	0,0400
452	12	36	3,00	+0,07	0,0049
453	10	31	3,10	+0,17	0,0289
454	12	27	2,25	-0,68	0,4624
455	13	40	3,07	+0,14	0,0196
456	13	39	3,00	+0,07	0,0049
457	9	32	3,56	+0,63	0,3969
458	12	35	2,92	-0,01	0,0001
459	12	36	3,00	+0,07	0,0049
460	12	31	2,58	-0,35	0,1225
461	11	29	2,64	-0,29	0,0841
462	11	33	3,00	+0,07	0,0049
463	9	29	3,22	+0,29	0,0841
464	12	36	3,00	+0,07	0,0049
465	8	29	3,62	+0,69	0,4761
466	13	33	2,53	-0,40	0,1600
467	7	25	3,57	+0,64	0,4096
468	10	30	3,00	+0,07	0,0049
469	15	33	2,20	-0,73	0,5329
470	20	41	2,05	-0,88	0,7744
471	16	35	2,19	-0,74	0,5476
472	14	42	3,00	+0,07	0,0049
473	18	42	2,33	-0,50	0,3600
474	18	41	2,27	-0,66	0,4356
475	15	46	3,07	+0,14	0,0196
476	11	33	3,00	+0,07	0,0049
477	13	31	2,38	-0,55	0,3025
478	15	40	2,66	-0,27	0,0729
479	14	42	3,00	+0,07	0,0049
480	13	44	2,38	+0,45	0,2025
481	14	41	2,92	-0,01	0,0001
482	11	32	2,90	-0,03	0,0009
483	13	34	2,66	-0,31	0,0961
484	9	28	3,11	+0,18	0,0324
485	10	33	3,30	+0,37	0,1369
486	13	41	3,15	+0,22	0,0484
487	15	42	2,80	-0,13	0,0169
488	18	59	3,28	+0,35	0,1225
489	14	33	2,36	-0,57	0,3249
490	12	32	2,67	-0,26	0,0676
491	15	49	3,27	+0,34	0,1156
492	12	31	2,58	-0,35	0,1225
493	10	35	3,50	+0,57	0,3249
494	12	46	3,83	+0,90	0,8100
495	11	32	2,90	-0,03	0,0009
496	10	35	3,50	+0,57	0,3249
497	11	32	2,91	-0,02	0,0004
498	10	31	3,10	+0,17	0,0289
499	11	37	3,36	+0,43	0,1849
500	9	28	3,11	+0,18	0,0324

### 3.4.1. Naměřené hodnoty a jejich vyhodnocení.

Měření byla prováděna na česaných přízích. Pro jednodušší vyjadřování jednotlivé příze v dalším textu značím římskými číslicemi:

I - -	vl/PES	45/55	Čm	40/l	světle hnědá
II - -	vl/Tesil	"	"	"	režná
III - -	vl/Tesil	"	"	"	hnědá
IV - -	vl/Diolen	"	"	"	zelená
V - -	vl/Diolen	"	"	"	modrá

Proměření chlupatosti jednotlivých přízí jsem prováděl ve vzdálenostech

$$x = 0,5\text{mm} ; 1\text{mm} ; 2\text{mm} ; 4\text{mm}$$

od těla příze.

Při měření jsem používal oba oba pracovní režimy čítače.

1. Byla zapojena časová základna a interval hradla nastaven na 10s. Rychlosť posuvu příze  $v = 4\text{m/min.}$   
Za těchto podmínek jsem provedl ve výše uvedených vzdálenostech  $x$  u všech přízí I až V po 100 měřeních v různých místech potáče. Průměrné hodnoty z každé stovky měření /viz tab.3/ jsem přepočítal na skutečné hodnoty chlupatosti /viz tab.4/ v jednotlivých vzdálenostech  $x$ . Celé měření bylo opakováno čtyřikrát /tab.3 a 4, A až D/.

Tabulka 3.

		průměrná četnost impulsů ze 100 měření na čítači				
		x/mm/ příze	0,5	1	2	4
A	I	59,22	32,47	13,03	2,51	
	II	82,54	41,62	24,92	4,11	
	III	78,20	40,93	24,47	3,66	
	IV	61,05	37,28	17,83	2,74	
	V	64,25	38,65	21,95	3,66	
B	I	57,63	32,93	13,26	2,74	
	II	82,79	42,99	27,21	4,34	
	III	77,98	41,39	21,95	2,51	
	IV	58,08	39,10	17,61	2,64	
	V	63,35	40,02	20,35	3,43	
C	I	59,46	34,07	12,80	2,28	
	II	80,73	42,08	25,38	3,89	
	III	79,13	40,71	21,04	2,97	
	IV	58,32	38,42	16,23	2,84	
	V	61,97	38,65	19,75	3,27	
D	I	58,09	34,76	14,41	3,20	
	II	82,10	43,45	26,07	4,80	
	III	76,38	40,71	19,89	2,96	
	IV	57,63	39,79	17,84	2,51	
	V	66,55	40,25	18,52	3,20	

Skutečné hodnoty chlupatosti vypočtené z této tabulky jsou seřazeny v tabulce 4.

Tabulka 4.

		skutečná četnost chlupů na 1m příze / ch/m /			
		0,5	1	2	4
		x/mm/ příze			
A	I	259	142	57	11
	II	361	182	109	18
	III	342	179	107	16
	IV	262	163	78	12
	V	281	169	96	16
B	I	252	144	58	12
	II	367	188	119	19
	III	341	181	96	11
	IV	254	171	77	11
	V	277	175	89	15
C	I	260	149	56	10
	II	353	184	111	17
	III	346	178	92	13
	IV	255	168	71	12
	V	271	169	76	14
D	I	254	152	63	14
	II	359	190	114	21
	III	334	178	87	13
	IV	252	174	78	11
	V	291	176	81	14

Příklad přepočtu naměřených hodnot na skutečné:

Podmínky: v - rychlosť příze; t - doba měření;

i - počet impulsů; k - koef. pro přepočet na skutečnou hodnotu

Z daných podmínek určíme vztah pro výpočet skutečného počtu chlupů na jednotku délky:

$$X = \frac{i}{v \cdot \frac{1}{60} t} k \quad / \text{ch/m} / \quad \begin{matrix} v / \text{m/min} / \\ t / \text{s} / \end{matrix}$$

2. Časové základna čítače byla vyřazena z činnosti a čítač byl ovládán tlačítky MAN.

Vurčených vzdálenostech x bylo na všech přízích prováděno měření za těchto podmínek:

rychlosť příze -  $v = 4 \text{ m/min}$

doba měření -  $t = 25 \text{ min}$

Za dobu t proběhne přístrojem 100 m příze. Naměřené hodnoty jsou zapsány v tab. 5 a vypočtené hodnoty chlupatosti v tab. 6. Všechna měření byla prováděna pětkrát, /viz tab. 5 a 6, A až E/.

Skutečné hodnoty jsou z naměřených vypočteny podle vztahu:

$$X = \frac{i}{v \cdot t} k,$$

kde  $v = 4 / \text{m/min} /$  a  $t = 25 / \text{min} /$ .

### 3.4.2. Způsoby vyjadřování chlupatosti.

Z vypočtených hodnot se přímo nabízí jedna možnost vyjádření chlupatosti příze a to přímo četností chlupů na jednotku délky v určených vzdálenostech x od těla pří-

Tabulka 5.

		četnost impulsů z čítače			
		0,5	1	2	4
		x/mm/ příze			
A	I	8883	4871	1955	376
	II	12381	6243	3738	617
	III	11732	6139	3669	549
	IV	9158	5592	2674	411
	V	9638	5797	3292	552
B	I	8919	5110	1920	342
	II	12109	6312	3807	583
	III	11868	6105	3156	445
	IV	8748	5763	2435	437
	V	9295	5797	2812	448
C	I	8713	5214	2161	482
	II	12315	6517	3911	721
	III	11457	6106	2983	446
	IV	8644	5967	2676	367
	V	9982	6034	2778	479
D	I	8644	4939	1989	411
	II	12418	6448	4081	651
	III	11697	6208	3292	376
	IV	8712	5865	2641	411
	V	9502	6003	3052	514
E	I	8850	5224	1912	335
	II	12228	6450	4253	620
	III	11606	6258	3862	478
	IV	8759	5301	2721	397
	V	9378	5970	2824	485

Tabulka 6.

	x/mm/ příze	skutečná četnost chlupů na 1m příze / ch/m /			
		0,5	1	2	4
A	I	260	143	57	11
	II	355	185	111	17
	III	348	178	92	13
	IV	256	169	71	12
	V	272	171	82	13
B	I	261	149	56	10
	II	363	183	109	18
	III	344	180	107	16
	IV	268	164	78	12
	V	282	169	96	16
C	I	255	153	63	14
	II	361	191	114	21
	III	335	178	87	13
	IV	253	175	78	11
	V	292	177	81	14
D	I	253	145	58	12
	II	364	189	119	19
	III	343	182	96	11
	IV	255	172	77	12
	V	278	176	89	15
E	I	259	153	56	10
	II	358	189	124	18
	III	340	183	113	14
	IV	256	155	79	12
	V	275	175	82	14

ze. Uvádím příklad vyjádření chlupatosti příze /tab. 4, příze I/:

$$x = 0,5 \text{ mm}; 1 \text{ mm}; 2 \text{ mm}; 4 \text{ mm}$$

$$X = 259 \text{ ch/m}; 142 \text{ ch/m}; 57 \text{ ch/m}; 11 \text{ ch/m}$$

Jiným způsobem vyjádření chlupatosti je grafické znázornění. Grafické zobrazení jsem provedl u přízí z tabulky 4A, příze I až V /obr. 12/.

Křivky jsou závislostí četnosti vyčnívajících vláken na vzdálenosti od těla příze  $x$ . Vyneseme-li do jednoho grafu hodnoty získané na více přízích, pak můžeme chlupatost jednotlivých přízí mezi sebou srovnávat. Křivka položená výše značí, že se jedná o přízi více chlupatou a naopak čím nižší polohu v grafu křivka zajímá tím je příze méně chlupatá.

Z obr. 12 můžeme učinit závěr a seřadit proměřené příze podle chlupatosti. Seřazení je provedeno od nejméně chlupaté příze po přízi nejchlupatější:

I - vl/PES 45/55 Čm 40/1 světle hnědá

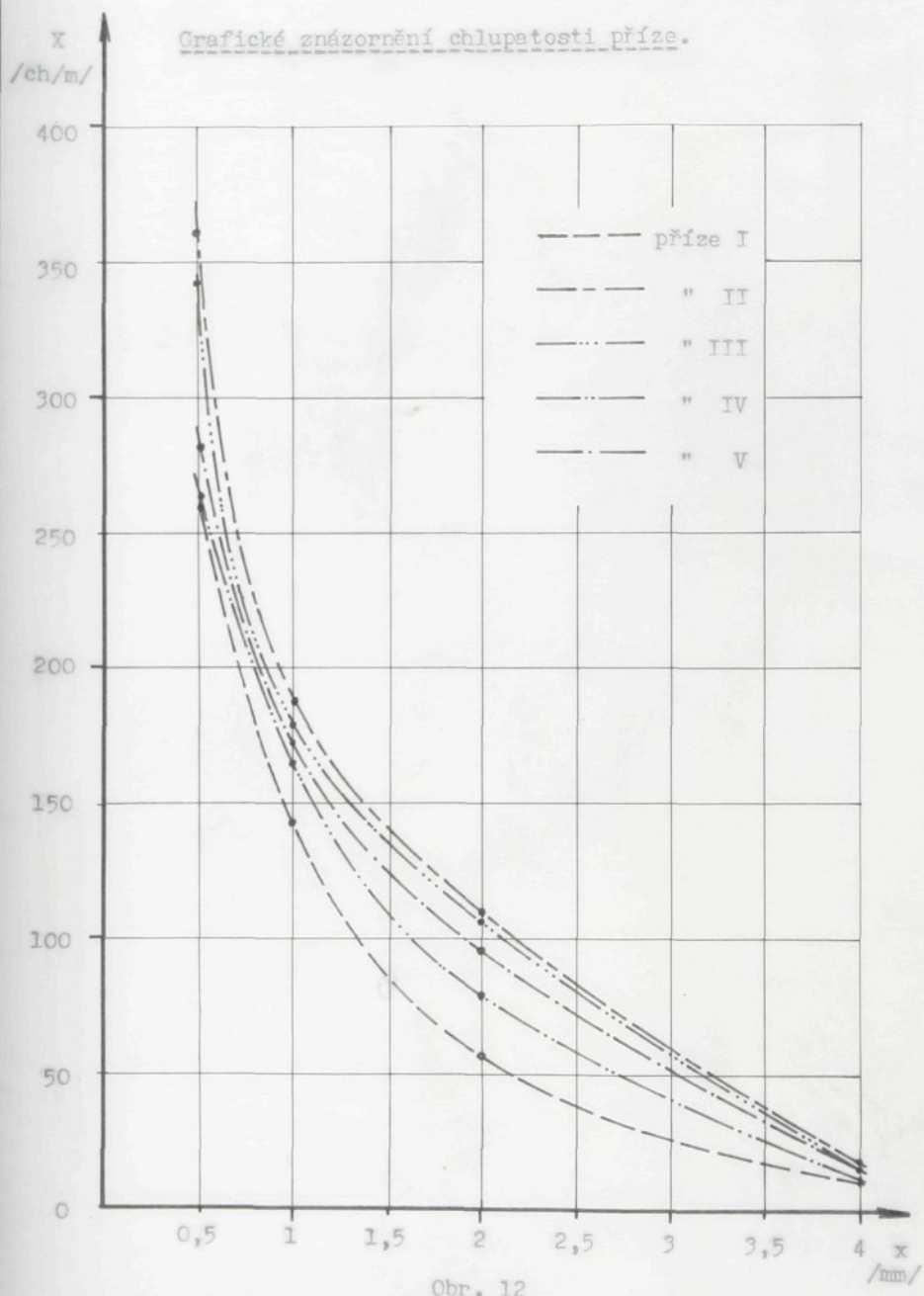
IV - vl/Diolen 45/55 Čm 40/1 zelená

V - vl/Diolen 45/55 Čm 40/1 modrá

III - vl/Tesil 45/55 Čm 40/1 hnědá

II - vl/Tesil 45/55 Čm 40/1 režná

Třetí způsob vyjádření chlupatosti spočívá ve znázornění této vlastnosti příze plochou pod křivkou



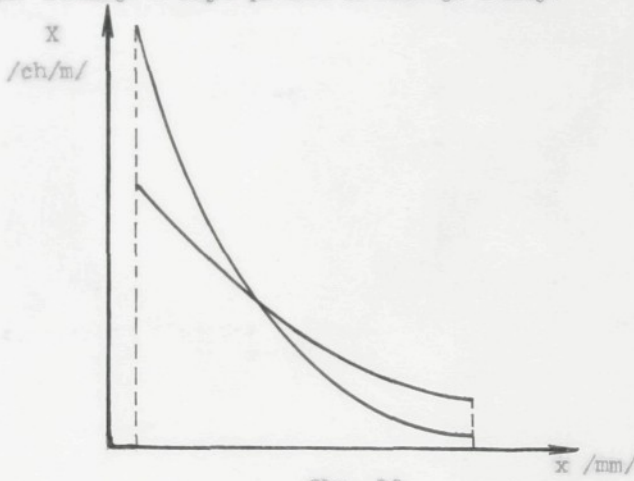
chlupatosti /obr. 12/. Je možné použít dva způsoby jak zjistit plochu pod křivkou.

1. Plochu změříme planimetrem.

2. Plochu vyjádříme integrací. Tato cesta je však velmi složitá a neobejdeme se bez výpočetní techniky.

Tento způsob vyjadřování chlupatosti však není vhodný.

Může nastat případ, kdy mezi sebou chceme porovnávat chlupatost několika přízí vyjádřenou plochou. Zjistíme však /obr. 13/, že plochy pod křivkami chlupatosti se sobě rovnají i když průběh křivek je různý.



Obr. 13

U různě chlupatých přízí získáme tímto vyjádřením chlupatosti stejný výsledek. Z tohoto důvodu jsem se vyjádřením chlupatosti plochou podrobněji nezabýval.

#### 4. Závěr.

Úkolem této práce bylo navrhnout a zkonstruovat přístroj na měření chlupatosti příze a odzkoušet jeho funkci na předložených přízích.

Při konstrukci přístroje jsem vycházel z principu popsaného Slackem /kap. 3.1./. Stavba přístroje byla popsána v kapitole 3.2.

Odzkoušení funkce přístroje a vlastní proměřování chlupatosti jsem prováděl na česaných přízích Čm 40/1 vl/FES z n. p. Textilana.

Naměřené hodnoty byly ve fázi zkoušení přístroje zaznamenány na smyčkovém osciloskopu. Vyhodnocování takto získaných hodnot je velmi pracné a z toho důvodu jsem při vlastním měření nahradil osciloskop universálním čítačem.

Proměřování chlupatosti u předložených přízí jsem prováděl ve vzdálenostech  $x = 0,5; 1; 2; 4$  mm od těla příze. Protože přístroj registruje pouze část vláken vyčnívajících z příze byl z velkého množství experimentálních měření stanoven koeficient  $k = 2,93$  pro přepočet naměřených hodnot na skutečnou četnost vyčnívajících vláken na jednotku délky příze.

Chlupatost přízí jsem vyhodnocoval dvěma způsoby.

1. Vyjádřením četnosti chlupů v určených vzdálenostech od těla příze.

2. Grafickým zobrazením chlupatosti.

Po proměření chlupatosti u daných přízí bylo možno je mezi sebou porovnávat /tab. 4 a 6/. Příze jsem seřadil podle chlupatosti od nejméně po nejvíce chlupatou:

I	- vl/PES	45/55	Čm 40/1	světle hnědá
IV	- vl/Diolen	45/55	Čm 40/1	zelená
V	- vl/Diolen	45/55	Čm 40/1	modrá
III	- vl/Tesil	45/55	Čm 40/1	hnědá
II	- vl/Tesil	45/55	Čm 40/1	režná

Při porovnání přízí stejné manipulace např. příze IV a V /vl/Diolen/, zjišťujeme, že jejich chlupatost se od sebe liší. Podobně je tomu u přízí II a III /vl/Tesil/. Srovnáme-li parametry těchto přízí, vidíme, že se od sebe liší pouze barvou a ta je pravděpodobně příčinou odlišné chlupatosti. Tento poznatek by mohl být zajímavým problémem pro řešení v některé z příštích diplomových prací.

*- Tesil & Diolen*

Poznámka: Všechny výpočty v této diplomové práci byly prováděny na elektronickém počítacím stroji ELKA.

5. Použitá literatura.

- /1/ Textil, 1970, č.5, str.148  
Způsob hodnocení chlupatosti příze
- /2/ Textil, 1969, č.5, str.158  
Barella: Chlupatost přízí
- /3/ J. K. Slack: An instrument for measuring  
the hairiness of yarns
- /4/ Ander: Diplomová práce, 1972
- /5/ Taufmanová: Diplomová práce, 1972
- /6/ Popovská: Diplomová práce, 1972